

# 初期曲げモーメントを考慮したアーチ梁の面外座屈について

東北大学 工学部 正員 金西 戴 正員の矢吹 植哉

## 冒頭

$\Sigma z = z$  は、両端ヒンジの円弧軸を持つアーチ梁が 等分布荷重をうけたときの初期曲げモーメントを考慮したねじれ座屈について論じてある。 $\delta_{cr} = E \cdot \alpha_k (i/\alpha R)^2$  の形で座屈応力を与え 初期曲げモーメントを考慮した場合と考慮しない場合の  $\alpha_k$  を種々のねじり剛性、曲げねじり剛性、輻射軸まわりの曲げ剛性 及び中心角のものについて求めたものである。

## 1. 序論

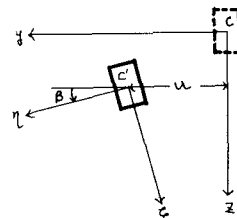
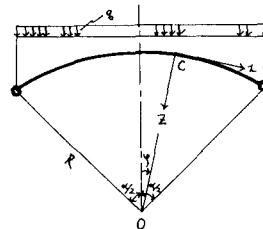
ここで取り扱っている問題は、2ヒンジ円弧アーチ梁が等分布荷重を受けて 側方への曲げとねじりが連成された形で面外座屈を起すような場合である。このようなアーチの面外座屈を考える場合、従来は最初からかりでいたアーチ軸を含む面内曲げモーメント（初期曲げモーメント）を省略していたが、本論文ではアーチの剛性を種々変化させた場合につき 初期曲げモーメントが前述した面外座屈の限界値にどの程度の影響を与えるかについて調べてある。

アーチ梁のねじり中心を連ねて得られる軸をアーチ軸と呼ぶ

アーチ梁は、このアーチ軸により代表されるものとする。

## 2. 基礎微分方程式の誘導

アーチ軸のねじり角  $\beta$  及び各軸方向の変位は 図-1  
に示した方向に変位するものを正とする。荷重は鉛直荷重  
とし、変位後もアーチ軸を含む面内に平行な状態を保つものとする。従ってアーチ軸は 等分布荷重  $R$  を受けて  
次式で与えられる水平反力を初期曲げモーメントを受けて  
いる。



$$H = \frac{\frac{3}{2} \sin \frac{\alpha}{2} + \frac{\alpha}{2} (\cos \frac{\alpha}{2} + \cos \frac{3\alpha}{2}) - \frac{7}{8} \sin \frac{\alpha}{2}}{\left( \frac{\alpha}{2} - \frac{3}{4} \sin \alpha + \frac{\alpha}{4} \cos \alpha \right)} \cdot R q$$

$$M = -\left( \frac{8R^2}{4} \cos \alpha + HR \cos \frac{\alpha}{2} \right) + \left( \frac{8R^2}{4} \cos 2\varphi + HR \cos \varphi \right)$$

(図-1)

—————(1), (2)

本論文の主旨となることは、荷重状態でのアーチ軸の変形は無視するが、この内力状態を考慮して  $\alpha K$  を求めることである。今アーチ軸に働く曲率半径  $R$  の曲げモーメントを  $M_q$ 、軸まわりのねじりモーメントを  $M_T$  とし、それが变形を増大させるようなモーメントを正とするならば、 $M_q, M_T$  はそれぞれ次式で与えられる。

$$M_q = -EJ_z \left( \frac{d^2\psi}{ds^2} + \frac{1}{R} \cdot \beta \right) \quad M_T = -EC_{bd} \left( \frac{d^3\beta}{ds^3} - \frac{1}{R} \cdot \frac{d^2\psi}{ds^2} \right) + GJ_T \left( \frac{d\beta}{ds} - \frac{1}{R} \cdot \frac{d\psi}{ds} \right) \quad (3), (4)$$

$s = \alpha \psi$ 、 $EJ_z$  は  $\psi$  軸まわりの曲げ剛性、 $GJ_T$  はねじり剛性、 $EC_{bd}$  は曲げねじり剛性である。次にアーチ軸の微小部分を取り出して作用する力の平衡を見ると、図-2 で示したようになる。今 2 次以上の微小量を省略して力の釣合を考えると結局次の関係が得られる。

$$\frac{d^2}{ds^2}(M_q) - \frac{d}{ds}\left(\frac{M_q}{R}\right) + \frac{d}{ds}\left(\frac{M}{R} \cdot \frac{d\psi}{ds}\right) - N \frac{d^2\psi}{ds^2} = 0 \quad (5)$$

$$\frac{d}{ds}(M_q) + \frac{M_q}{R} + \frac{M \cdot \beta}{R} + \alpha_B \beta \cos \psi = 0 \quad (6)$$

(5), (6) 式は (3), (4) 式の関係を挿入すると  $\psi, \beta$  につれての基礎微分方程式が得られる。

$$-\frac{1}{R^3} \left( C_J + \frac{C_w}{R^2} \right) \cdot U^{(IV)} + \left( \frac{C_J}{R^3} - \frac{N}{R} \right) \cdot U'' + \frac{1}{R^2} (M \cdot W)' + \frac{C_w}{R^4} \beta - \frac{1}{R^2} (G + C_T) \beta'' = 0$$

$$\frac{C_w}{R^5} U^{(IV)} - \frac{1}{R^3} (C_J + C_T) U'' - \frac{C_w}{R^4} \beta'' + \frac{C_J}{R^4} \beta' - \frac{C_J}{R^2} \beta + (\alpha_B \cos \psi + \frac{M}{R}) \cdot \beta = 0$$

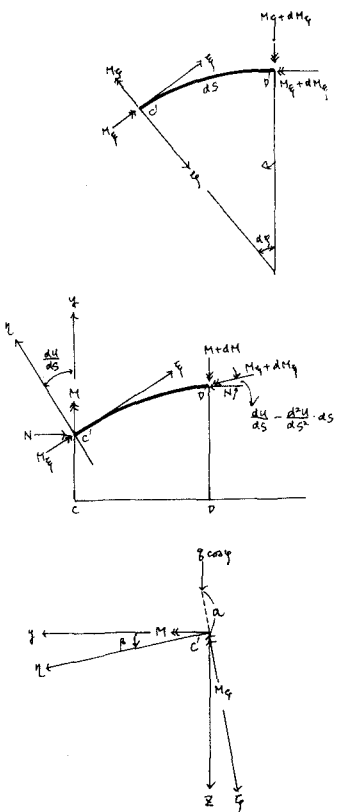
————— (7), (8)

$\psi$  は  $\psi$  につれて微分したものを表わし  $C_J = EJ_z$

$C_T = GJ_T$ ,  $C_w = EC_{bd}$  である。

### 3. 座屈荷重の算出

(7), (8) 式に示したような変数  $U, \beta$  の係数が非定数であるような連立微分方程式を解くのは一般に容易でない。従って  $\psi$  は  $U = RT \sum_{i=1}^n A_i \cdot \psi_i$ ,  $\beta = T \sum_{i=1}^n B_i \cdot \chi_i$  として  $\psi_i, \chi_i$  は i)  $U$  と  $\beta$  に加えられて ii) 積分条件はすべて満足する。ii) 互に線型独立である。左の条件を満足するように座屈形を仮定して解くのが得策であろうと思われる。今  $U, \beta$  につれて最初の 2 項をとって (7), (8) 式に代入すれば横荷重とねじりモーメントの変化に対する  $\delta S_y, \delta M_T$



(図-2)

を得る。仮想変位ベクトル  $\delta u_i = \varphi_i(\varphi)$ ,  $\delta \beta_i = \chi_i(\varphi)$  ( $i=1, 2$ ) を選ぶと  $U_i, \chi_i$  は  $u_i, \beta_i$  同等の境界条件を満足していることより 結局次に示すような力及び仮想変位に対する Lagrang の方程式が得られる。

$$\begin{bmatrix} E_0 & E_2 & E_3 & E_4 \\ & E_{22} & E_5 & E_6 \\ S & Y & M & \\ L & & E_{33} & E_{44} \end{bmatrix} \cdot \begin{bmatrix} A_1 \\ A_2 \\ B_1 \\ B_2 \end{bmatrix} = 0 \quad (9)$$

$= 1$  係数行列の各エントリを次に示す。

$$\begin{aligned} E_{11} &= -\frac{1}{R^2}(C_J + \frac{C_W}{R^2}) \int (v_1'')^2 d\varphi - (\frac{C_T}{R^2} - H) \int (v_1')^2 d\varphi - \frac{1}{R} \int M(v_1')^2 d\varphi \\ E_{22} &= -\frac{1}{R^2}(C_J + \frac{C_W}{R^2}) \int (v_2'')^2 d\varphi - (\frac{C_T}{R^2} - H) \int (v_2')^2 d\varphi - \frac{1}{R} \int M(v_2')^2 d\varphi \\ E_{33} &= -\frac{C_W}{R^4} \int (\chi_1'')^2 d\varphi - \frac{C_T}{R^2} \int (\chi_1')^2 d\varphi + a_8 \int \chi_1^2 \cos \varphi d\varphi + \frac{1}{R} \int M \chi_1^2 d\varphi - \frac{C_T}{R^2} \int \chi_1^2 d\varphi \\ E_{44} &= -\frac{C_W}{R^4} \int (\chi_2'')^2 d\varphi - \frac{C_T}{R^2} \int (\chi_2')^2 d\varphi + a_8 \int \chi_2^2 \cos \varphi d\varphi + \frac{1}{R} \int M \chi_2^2 d\varphi - \frac{C_T}{R^2} \int \chi_2^2 d\varphi \\ E_{21} &= -\frac{1}{R^2}(C_J + \frac{C_W}{R^2}) \int (v_1'')^2 d\varphi - (\frac{C_T}{R^2} - H) \int (v_1')^2 d\varphi - \frac{1}{R} \int M(v_1')^2 d\varphi \\ E_3 &= \frac{C_W}{R^4} \int \chi_1'' v_1'' d\varphi + \frac{1}{R^2}(C_J + C_T) \int \chi_1' v_1' d\varphi \quad E_4 = \frac{C_W}{R^4} \int \chi_2'' v_2'' d\varphi + \frac{1}{R^2}(C_J + C_T) \int \chi_2' v_2' d\varphi \\ E_5 &= \frac{C_W}{R^4} \int \chi_1'' v_2'' d\varphi + \frac{1}{R^2}(C_J + C_T) \int \chi_1' v_2' d\varphi \quad E_6 = \frac{C_W}{R^4} \int \chi_2'' v_1'' d\varphi + \frac{1}{R^2}(C_J + C_T) \int \chi_2' v_1' d\varphi \\ E_7 &= -\frac{C_W}{R^4} \int \chi_1'' \chi_2'' d\varphi - \frac{C_T}{R^2} \int \chi_1' \chi_2' d\varphi + a_8 \int \chi_1 \chi_2 \cos \varphi d\varphi + \frac{1}{R} \int M \chi_1 \chi_2 d\varphi - \frac{C_T}{R^2} \int \chi_1 \chi_2 d\varphi \end{aligned}$$

尚  $= 2$  各エントリの積分は  $-\alpha/2$  から  $+\alpha/2$  までの定積分である。

従つ、(9)式より得られた係数行列式を 0 とするような 水平反力  $H$  や座屈の限界値には  $a_8$  が 2 倍される。各エントリの  $M$  を含む項を省略すれば 従来より解かれている初期拘束モーメントを考慮した場合の座屈限界値を与えることになる。

### 3. 数値計算及公式的考査

境界条件を満足するような対称変形を表す半座屈型を 次式のように選んで 種々のねじり剛性 構成剛性 について  $\alpha_K$  を計算した結果が図-3, 4, 5 である。

$$u = RT \left( \cos \frac{\pi}{2} \psi + \frac{1}{3} \sin \frac{3\pi}{2} \psi \right), \quad \beta = T (B_1 \cdot \cos \frac{\pi}{2} \psi + B_2 \cdot \sin \frac{3\pi}{2} \psi)$$

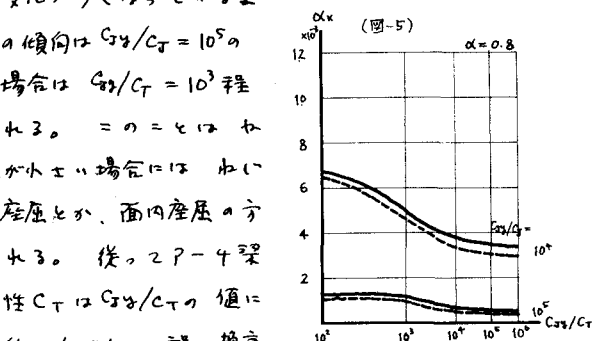
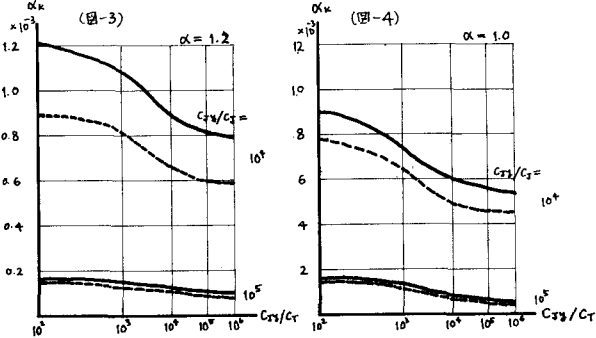
図-3, 4, 5 は於て  $\alpha_K$  実線は初期曲げモーメントを考慮しない場合の  $\alpha_K - C_{xy}/C_T$  曲線を示し 実線は初期曲げモーメントを考慮した場合の  $\alpha_K - C_{xy}/C_T$  曲線を示す。  $= z - C_{xy}$  は  $z -$  4 章の面内曲げ剛性を表す。

一般に  $\alpha_K - C_{xy}/C_T$  曲線は  $C_{xy}/C_T$  =  $10^3$  程度まで比較的の変化が少く  $10^3 \sim$

$10^5$  の間に急速な変化が叶うが  $10^5$  以上では又変化が少く  $\alpha_K - z - 3$  と  $\alpha_K - z - 4, 5$  からうがえ。  $= a$  傾向は  $C_{xy}/C_T = 10^5$  の方が  $10^4$  の場合より著しく。  $C_{xy}/C_T = 10^4$  の場合は  $C_{xy}/C_T = 10^3$  程度に至るまでの間もかなりの変化が叶う。  $=$  の =  $z - 3$  でねじり剛性が大きくなる方への曲げ剛性が小さくなる場合にはねじり座屈よりも他の座屈形状、例文は横倒立座屈とか、面内座屈の発生が予想される。  $=$  3 と  $=$  4 ではねじり剛性  $C_T$  は  $C_{xy}/C_T$  の値は  $1 \sim 10^3$  以下では  $z - 3$  が望ましい。又一般に  $\alpha$  が大きい程度換算すれば  $z - 4$  高水高の座屈荷重は低下するがわかる。

次に初期曲げモーメントを考慮した場合としない場合の  $\alpha_K$  を計算結果を比較する。  
 $C_{xy}/C_T = 10^4, 10^5$  で  $\alpha = 0.8$  で約 12%  $\alpha = 1.0$  で約 10%  $\alpha = 1.2$  で約 7%  $\alpha_K$  の値が減少する。中心角  $\alpha$  が大きい程両者の差が用いて  $z - 3$  は (2) 式から中心角  $\alpha$  ( $\alpha = 0.8 \sim 1.2$  の範囲では) が大きい程初期曲げモーメントを大きくするから説明される。

(尚、数値計算には 東北大数学計算センターの NEAC-2200 を使用)



### 参考文献

- 1) Timoshenko, S : "Theory of Elastic Stability"
- 2) 飯田正剛 : "応用弹性学"
- 3) 飯田 正 : "z - 4 章のねじり座屈について" 土木学会論文集 第 95 号